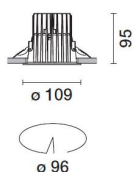


### Configurazione di prodotto: Q960

Q960: incasso circolare fisso Ø 96 mm - warm white - ottica wide flood - UGR<19



Q960: incasso circolare fisso Ø 96 mm - warm white - ottica wide flood - UGR<19

Apparecchio rotondo fisso finalizzato all'utilizzo di sorgente LED con tecnologia C.o.B. Versione con falda per installazione ad appoggio. Riflettore metallizzato con vapori di alluminio sottovuoto con strato di protezione antigraffio. Corpo in alluminio pressofuso e sistema di dissipazione passiva. Prodotto completo di LED in tonalità di colore warm white CRI 90 (2700K). Emissione luminosa luce generale con luminanza controllata UGR<19 1500 cd/m<sup>2</sup> α>65° ottica wide flood.

Ad incasso tramite molle di torsione che consentono una facile installazione su controsoffitti con spessore a partire da 1 mm fino a 20 mm.

## 0.65

**Montaggio**  
incasso a soffitto

prodotto completo di alimentatore DALI

Soddisfa EN60598-1 e relative note



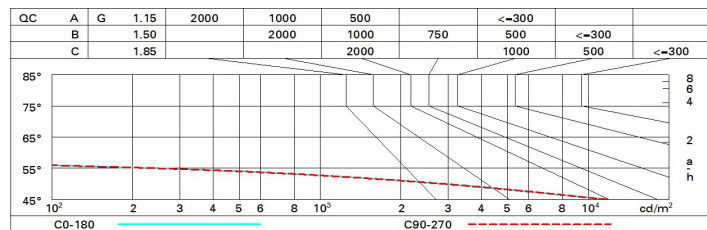
|  |      |                                    |                                 |
|--|------|------------------------------------|---------------------------------|
| Im di sistema:                               | 1147 | CRI (minimo):                      | 90                              |
| W di sistema:                                | 14.1 | Temperatura colore [K]:            | 2700                            |
| Im di sorgente:                              | 1550 | MacAdam Step:                      | 2                               |
| W di sorgente:                               | 12   | Life Time LED 1:                   | > 50,000h - L90 - B10 (Ta 25°C) |
| Efficienza luminosa (lm/W, dati di sistema): | 81.3 | Codice lampada:                    | LED                             |
| Im in modalità emergenza:                    | -    | Numero di lampade per vano ottico: | 1                               |
| Flusso totale emesso a 90° o superiore [Lm]: | 0    | Codice ZVEL:                       | LED                             |
| Light Output Ratio (L.O.R.) [%]:             | 74   | Numero di vani ottici:             | 1                               |
| Angolo di apertura [°]:                      | 44°  | Control:                           | DALI                            |

|       |   |  |            |     |     |                  |
|-------|---|--|------------|-----|-----|------------------|
|       | <b>CIE</b><br>nL 0.74<br>97-100-100-100-74<br>UGR 17.0-17.0                       |  | <b>Lux</b> |     |     |                  |
|       | <b>DIN</b><br>A.61  |  | h          | d   | Em  | E <sub>max</sub> |
|       | <b>UTE</b><br>0.74A+0.00T<br>F*1=972  |  | 2          | 1.6 | 368 | 454              |
|       | F*1+F*2=1000<br>F*1+F*2+F*3=1000  |  | 4          | 3.2 | 92  | 114              |
|       | <b>CIBSE</b><br>LG3 L<1500 cd/m <sup>2</sup> at 65°<br>UGR<19   L<1500 cd/mq @65° |  | 6          | 4.8 | 41  | 50               |
| α=44° |   |  | 8          | 6.5 | 23  | 28               |

# Coefficienti di utilizzazione

| R    | 77 | 75 | 73 | 71 | 55 | 53 | 33 | 00 | DRR |
|------|----|----|----|----|----|----|----|----|-----|
| K0.8 | 66 | 62 | 60 | 58 | 62 | 59 | 59 | 57 | 76  |
| 1.0  | 69 | 66 | 63 | 62 | 65 | 63 | 63 | 60 | 81  |
| 1.5  | 73 | 70 | 68 | 67 | 69 | 68 | 67 | 65 | 87  |
| 2.0  | 75 | 73 | 72 | 71 | 72 | 71 | 70 | 68 | 92  |
| 2.5  | 77 | 75 | 74 | 73 | 74 | 73 | 72 | 70 | 95  |
| 3.0  | 77 | 77 | 76 | 75 | 75 | 75 | 74 | 72 | 97  |
| 4.0  | 78 | 78 | 77 | 77 | 76 | 76 | 75 | 73 | 99  |
| 5.0  | 79 | 78 | 78 | 78 | 77 | 77 | 76 | 74 | 100 |

## Curva limite di luminanza



## Diagramma UGR

| Corrected UGR values (at 1550 lm bare lamp luminous flux)        |      |                     |      |      |      |      |                   |      |      |      |      |
|--|------|---------------------|------|------|------|------|-------------------|------|------|------|------|
| Reflect.:<br>ceiling/cav<br>walls<br>work pl.<br>Room dim<br>x y |      | viewed<br>crosswise |      |      |      |      | viewed<br>endwise |      |      |      |      |
|  |      | 0.70                | 0.70 | 0.50 | 0.50 | 0.30 | 0.70              | 0.70 | 0.50 | 0.50 | 0.30 |
|  |      | 0.50                | 0.30 | 0.50 | 0.30 | 0.30 | 0.50              | 0.30 | 0.50 | 0.30 | 0.30 |
|  |      | 0.20                | 0.20 | 0.20 | 0.20 | 0.20 | 0.20              | 0.20 | 0.20 | 0.20 | 0.20 |
| 2H   | 2H   | 17.5                | 18.2 | 17.8 | 18.5 | 18.7 | 17.5              | 18.2 | 17.8 | 18.5 | 18.7 |
|  | 3H   | 17.4                | 18.0 | 17.7 | 18.3 | 18.6 | 17.4              | 18.0 | 17.7 | 18.3 | 18.6 |
|  | 4H   | 17.3                | 17.9 | 17.7 | 18.2 | 18.5 | 17.3              | 17.9 | 17.7 | 18.2 | 18.5 |
|  | 6H   | 17.3                | 17.8 | 17.6 | 18.1 | 18.4 | 17.3              | 17.8 | 17.6 | 18.1 | 18.4 |
|  | 8H   | 17.2                | 17.7 | 17.6 | 18.0 | 18.4 | 17.2              | 17.7 | 17.6 | 18.0 | 18.4 |
|  | 12H  | 17.2                | 17.6 | 17.6 | 18.0 | 18.3 | 17.2              | 17.6 | 17.6 | 18.0 | 18.3 |
| 4H   | 2H   | 17.3                | 17.9 | 17.7 | 18.2 | 18.5 | 17.3              | 17.9 | 17.7 | 18.2 | 18.5 |
|  | 3H   | 17.2                | 17.6 | 17.6 | 18.0 | 18.3 | 17.2              | 17.6 | 17.6 | 18.0 | 18.3 |
|  | 4H   | 17.1                | 17.5 | 17.5 | 17.9 | 18.3 | 17.1              | 17.5 | 17.5 | 17.9 | 18.3 |
|  | 6H   | 17.0                | 17.4 | 17.4 | 17.8 | 18.2 | 17.0              | 17.4 | 17.4 | 17.8 | 18.2 |
|  | 8H   | 17.0                | 17.3 | 17.4 | 17.7 | 18.1 | 17.0              | 17.3 | 17.4 | 17.7 | 18.1 |
|  | 12H  | 16.9                | 17.2 | 17.4 | 17.6 | 18.1 | 16.9              | 17.2 | 17.4 | 17.6 | 18.1 |
| 8H   | 4H   | 17.0                | 17.3 | 17.4 | 17.7 | 18.1 | 17.0              | 17.3 | 17.4 | 17.7 | 18.1 |
|  | 6H   | 16.9                | 17.1 | 17.3 | 17.6 | 18.1 | 16.9              | 17.1 | 17.3 | 17.6 | 18.1 |
|  | 8H   | 16.8                | 17.0 | 17.3 | 17.5 | 18.0 | 16.8              | 17.0 | 17.3 | 17.5 | 18.0 |
|  | 12H  | 16.8                | 17.0 | 17.3 | 17.4 | 18.0 | 16.8              | 17.0 | 17.3 | 17.4 | 18.0 |
| 12H  | 4H   | 16.9                | 17.2 | 17.4 | 17.6 | 18.1 | 16.9              | 17.2 | 17.4 | 17.6 | 18.1 |
|  | 6H   | 16.8                | 17.0 | 17.3 | 17.5 | 18.0 | 16.8              | 17.0 | 17.3 | 17.5 | 18.0 |
|  | 8H   | 16.8                | 17.0 | 17.3 | 17.4 | 18.0 | 16.8              | 17.0 | 17.3 | 17.4 | 18.0 |
| Variations with the observer position at spacing:                |      |                     |      |      |      |      |                   |      |      |      |      |
| S =  | 1.0H | 4.4 / -31.1         |      |      |      |      | 4.4 / -31.1       |      |      |      |      |
|  | 1.5H | 7.2 / -38.8         |      |      |      |      | 7.2 / -38.8       |      |      |      |      |
|  | 2.0H | 9.2 / -39.6         |      |      |      |      | 9.2 / -39.6       |      |      |      |      |